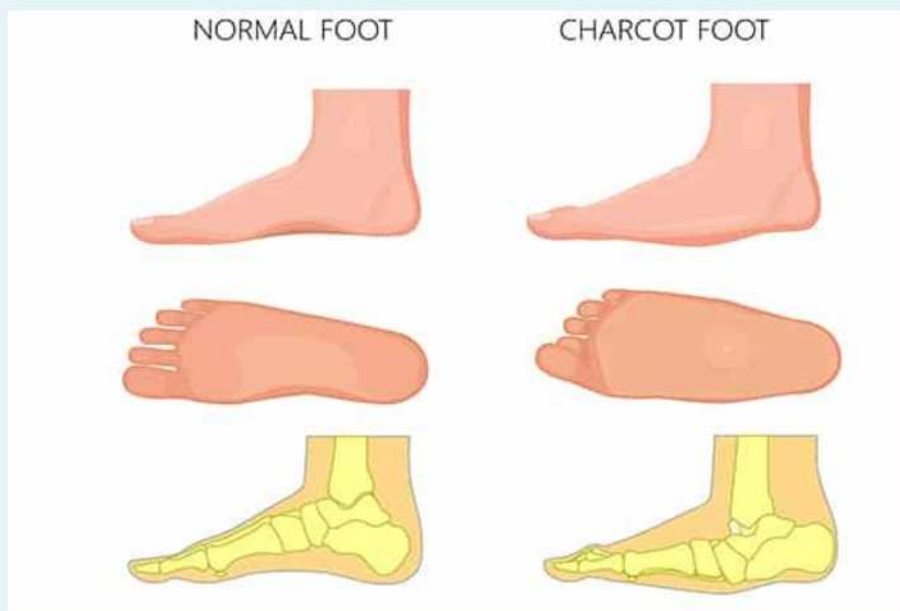


Charcot jalg

Mis see on?

- Esmakordselt kirjeldatud 1868 prantsuse patoloogi Jean-Martin Charcot' poolt neurosüüfilisega (tabes dorsalis) patsientidel.
- Tihti valutu aseptiline luude ja liigeste destruktsiooniga kulgev deformeeriv põletikuline liigeshaigus
- Teised nimetused: charcot' liiges, neuropaatiline liiges



Pildil kujutatud Charcot jala lõpp-staadium.
<https://www.foohealthclinic.com.au/diabetes-charcot-foot-syndrome/>



Vasakul tüüpiline Charcot' jalga aktiivses põletikulises faasis: kuum, punetav ja turses.
Rosskopf et al.

Patofüsioloogia

- Põhialus: (perifeerne) neuropaatia
- Kaks teooriat:
 - Neurotraumaatiline: mittetundliku jala vm liigese (mikro)vigastus, mis süveneb patsiendi neuropaatia tõttu
 - Neurovaskulaarne: autonoomse närvisüsteemi neuropaatia, mille tõttu on suurenenud verevarustus jäsemesse → luutekke ja resorptsiooni tasakaalu häirumine → osteopeenia
- Kõige töenäolisem on eelneva kahe teoria kombinatsioon
- Immuunsüsteemi regulatsiooni häirumine – Charcot artropatiaga patsientidel proinflammatoorsete tsütokiinide tase tõusnud, antiinflammatoorseid tsütokiine vähem → pikk ja tugev põletikureaktsioon⁷
- Perifeersete veresoonte haigusel töenäoline protektiivne efekt^{7,8} – toetab neurovaskulaarset teooriat

Etioloogia

- Diabeet, neurosüüfilis, leepra, krooniline alkoholism, seljaaju vigastus, syringomyelia, spina bifida/müelomeningotseele, steroidide kasutamine, kaasasündinud tundlikushäire jne (kui põhjustab sensoorset ja/või autonooomset neuropaatiat siis kuulub listi)
- Inglise keeles S mnemoonik⁴: sugar, syphilis, steroid use, syringomyelia, spinal cord injury, spina bifida, scleroderma, scaly disease (leepra)
- Tänapäeval kõige sagedasem: diabeet

Charcot artropaatia

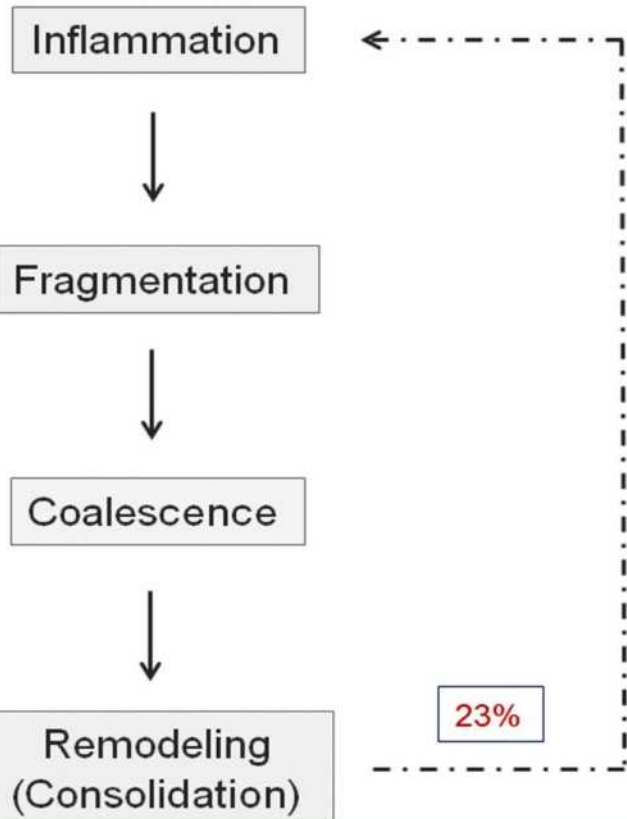
- Mitte ainult hüppeliigese tasemel ja distaalsemal
- Kogu jala ulatuses: puusad, põlved
 - Vanasti oli sagedaimaks põhjuseks süüfilis ning põlveliigese haaratus
- Õlaliiges – väga harv, enamasti seotud syringomyeliaga
- Lülisammas – enam lülisamba alaosas, raske eristada osteomüeliidist
- Harvem ka teistes ülajäseme liigestes

Epidemioloogia

- 0,1% diabeetikutest
- 13% kõrge riskiga diabeetikutest
- Kuni 35% perifeerse neuropatiaga diabeetikutest
- Tüüpiliselt on patsient 50ndates või 60ndates
- Haaratud enamasti üks jäse, bilateraalne haaratus 5,9 – 39,3% juhtudest
- Meestel ja naistel esineb enamus uuringutes võrdselt, mõnede hinnangul meestel enam suhtega 3:1

Haiguse kulg

Charcot Foot



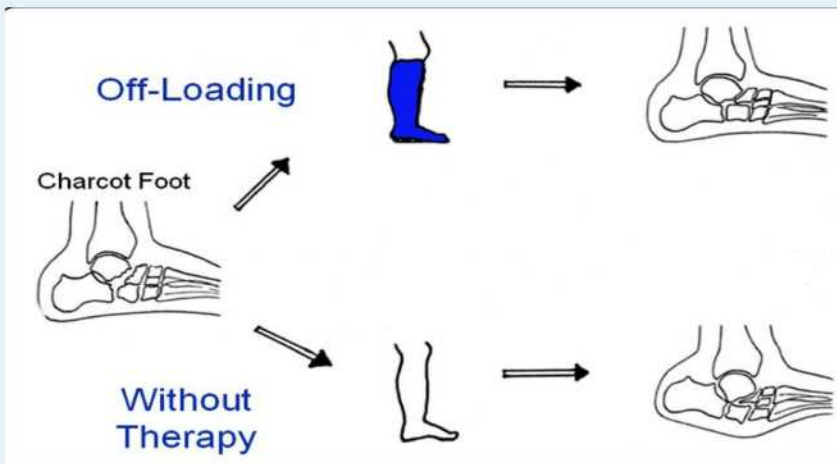
- Põletik – punane, soe, turses jalgs, tihti valutu või vähevalulik
- Fragmentatsioon – osteopeenias tingitud fraktuuride teke, liigeste hävinemine põletikust
- Väheaktiivsem/inaktiivne faas, kus põletik hakkab taandumata, tekivad luulised uusmoodustised (vabakehad, osteofüüdid)
- Konsolidatsioon – destruktsioonide luustumine, deformatsioon.

Haiguse tüüpiline kulg, korduvhaigestumise sagedus
23%

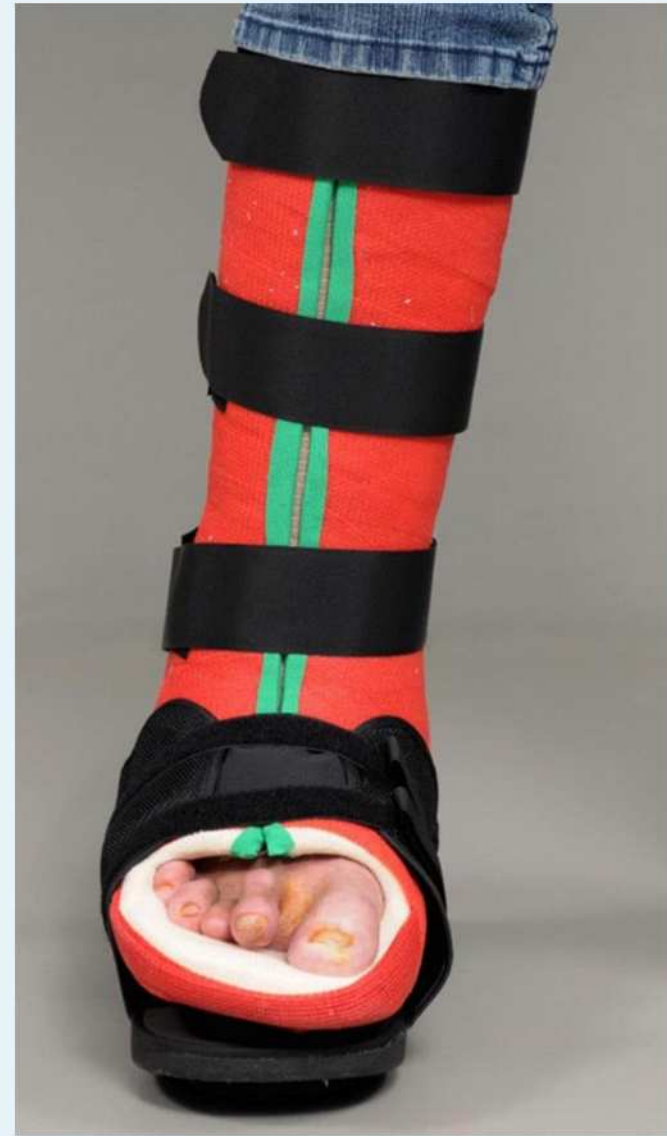
Roskopf et al.

Ravi

- Akuutne faas
 - Immobilsatsioon ning stressi vähendamine jäsemele
- Postakuutne faas
 - Kirurgilised meetodid deformatsioonide korrigeerimiseks



Konservatiivse ravi eesmärk.
Rosskopf et al.

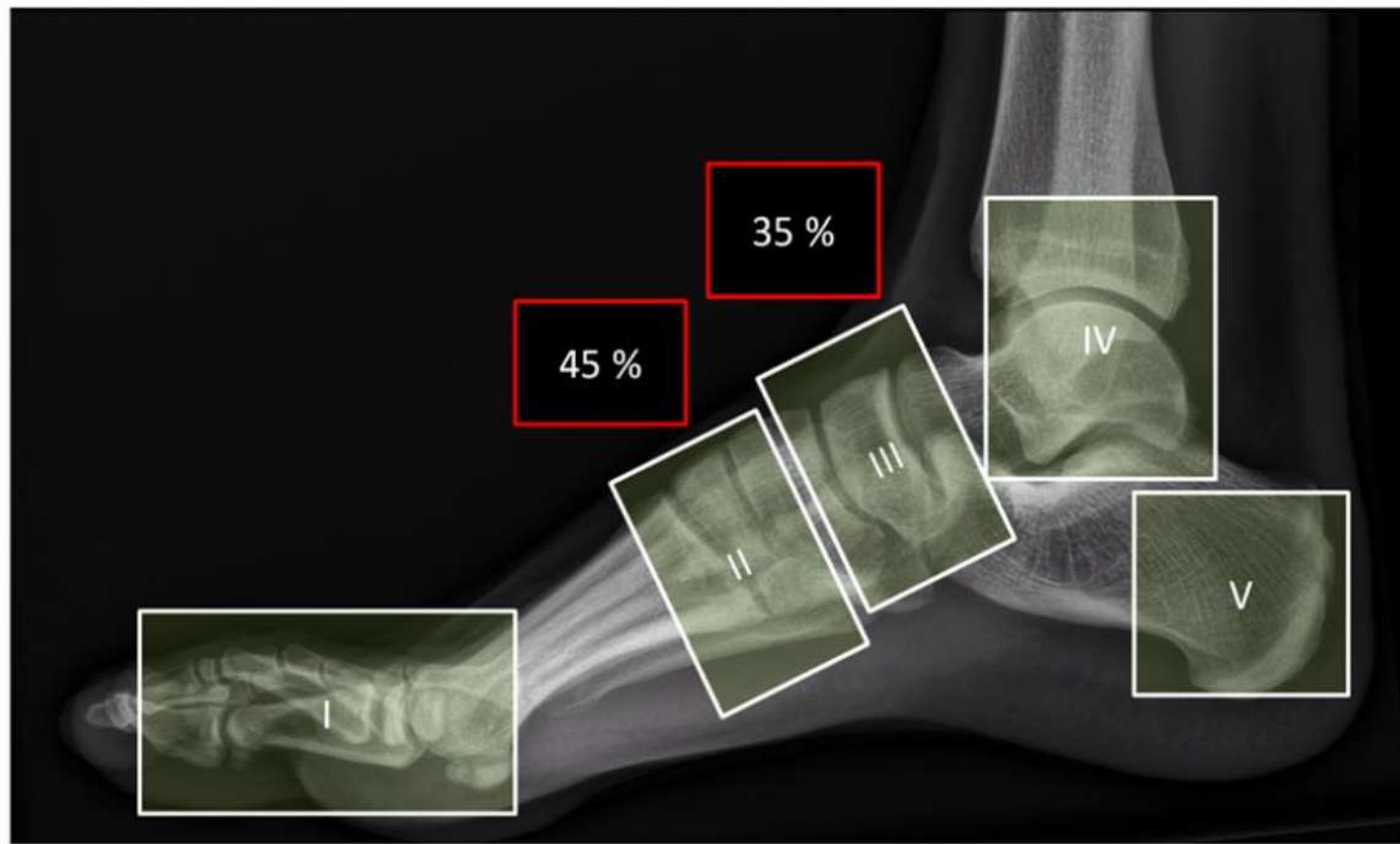


Rosskopf et al.

Klassifikatsioonid

- Sanders & Frykberg – anatoomiline klassifikatsioon
- Eichenholtz – kliinilis-radioloogiline klassifikatsioon
- Brodsky – anatoomiline klassifikatsioon

Sanders-Frykberg klassifikatsioon



Tsoon I – MTP ja IP liigesed; Tsoon II – TMT liigesed; Tsoon III – tarsaalliliigesed; Tsoon IV – ülemine ja alumine hüppeliiges; Tsoon V – kandluu. Tsoon II ja III on kõige sagemini haaratud, vastavalt 45% ja 35% juhtudest.

Eichenholtz klassifikatsioon

- Loodi 1966, oli algsest kolmeastmeline röntgenoloogiline klassifikatsioon.
- Modifitseeritud versioonil lisatud staadium 0 – ilma röntgenleiuta

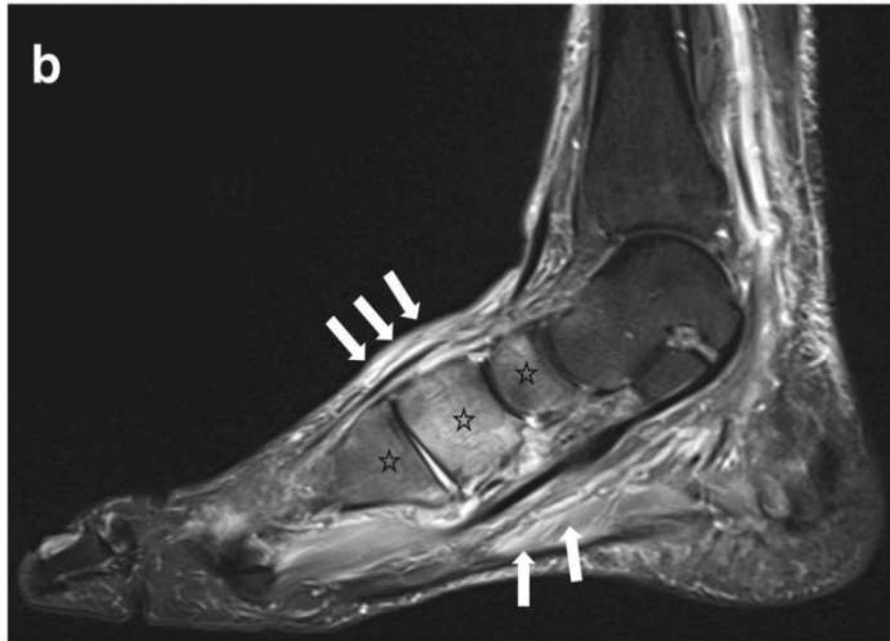
Stages	Description
0 (Inflammatory)	Clinical findings: localised warmth, oedema and erythema Plain radiography findings: minimal, if any, abnormalities MRI typically reveals subchondral bone marrow oedema with or without non-displaced pathological fracture
1 (Development)	Clinical findings: localised warmth, marked oedema and erythema Plain radiography findings: focal bone demineralisation (early), debris formation at the articular margins, fragmentation of subchondral bone plain radiography, subluxation, dislocation and periarticular fractures
2 (Coalescence)	Clinical findings: continued but decreased warmth, oedema and erythema Plain radiography findings: absorption of fine debris, fusion of large fragments of adjacent bones and/or new periosteal bone formation
3 (Remodelling)	Clinical findings: decreased or absent warmth, oedema and erythema Plain radiography findings: remodelled and new bone formation, decreased osteosclerosis and/or possible gross residual deformity

Eichenholtz modifitseeritud klassifikatsioon selgitustega.
Mautone et al.

Eichenholtz 0



a – Röntgenogrammil leid puudub (klassifikatsiooni definitsioon)



b – sag STIR kujutis. Luuturse, pehmete kudede turse, liigesesisene vedelik, võivad olla ka subkondraalsed mikrofraktuurid (antud uuringul ei esine, peaks hindama T1 kaalutud kujutisel)

Roskopf et al.

Eichenholtz 1



1 (Development)

Clinical findings: localised warmth, marked oedema and erythema

Plain radiography findings: focal bone demineralisation (early), debris formation at the articular margins, fragmentation of subchondral bone plain radiography, subluxation, dislocation and periarticular fractures

Kõige varajasem leid röntgenpiltidel: subkondraalse luu hörenemine, märgitud musta noolega.

Mautone et al

Eichenholtz 1



Subtalaar-, tibiotalaar-, talonavikulaar-, calcaneocuboidliigeste ning taluse ja eesmise calcaneuse destruktsioon. Luulised fragmendid hävinenud liigese ümbruses.

Metatarsaalluude fraktuurid MTP-liigeste destruktsiooni ja luuliste fragmentidega liigeste ümbruses. **a** – koronaarne STIR kujutis, **b** – sellele vastav röntgenogramm.

Eichenholtz 2



2 (Coalescence)

Clinical findings: continued but decreased warmth, oedema and erythema

Plain radiography findings: absorption of fine debris, fusion of large fragments of adjacent bones and/or new periosteal bone formation

Tüüpiline Charcot artropaatia TMT liigestes: liigespindade destruktsioon, kerge subluksatsioon, luuline proliferatsioon ja skleroos.

Eichenholtz 3



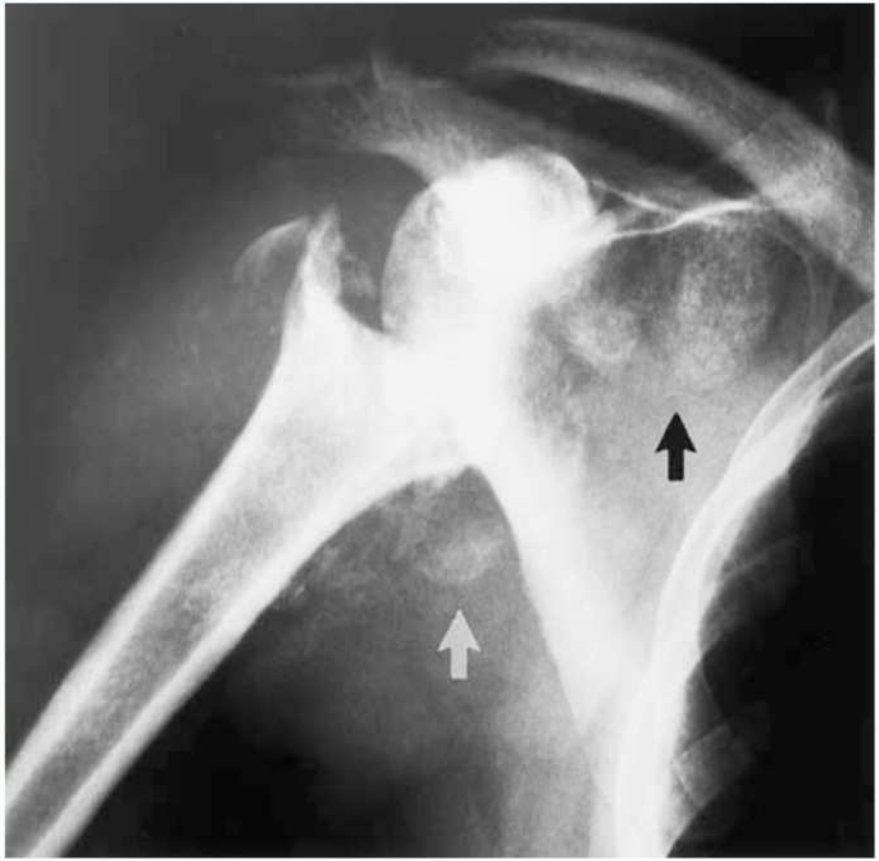
3 (Remodelling)

Clinical findings: decreased or absent warmth, oedema and erythema

Plain radiography findings: remodelled and new bone formation, decreased osteosclerosis and/or possible gross residual deformity

Hüpertroofiline ja atroofilne vorm

- Hüpertroofiline
 - Liigese destruktsioon ja fragmentatsioon
 - Skleroos
 - Osteofüütide moodustumine
 - Võib meenutada väljendunud osteoartroosi
 - Puhtalt hüpertroofiline vorm harv, tihti segu atroofilisest ja hüpertroofilisest (nt. algsest atroofilist, edasi hüpertroofilist)
- Atroofilne
 - Luu resorptsioon, mis võib näida kirurgilise amputatsioonina
 - Ei ole skleroosi ja osteofüüte
 - Ägedama kuluga
 - Enam raskust mittekandvates liigestes ülajäsemel, näiteks syringomyeliaga
 - Puhas atroofilne vorm on sagedasem kui hüpertroofilne



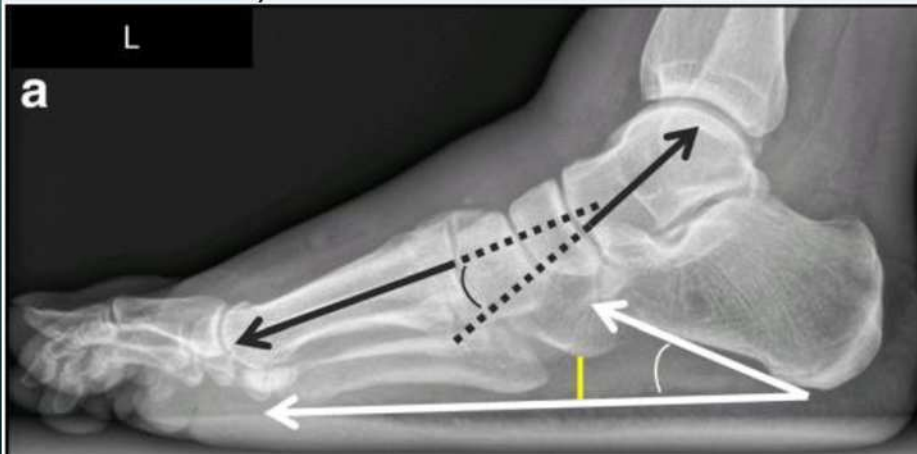
Osteolüütiline vorm - teravate piiridega
õlavavarreluupea osteolüüs.
Valge nool: luufragmendid
aksillaarretsessis, must nool:
luufragmendid subskapulaarretsessis



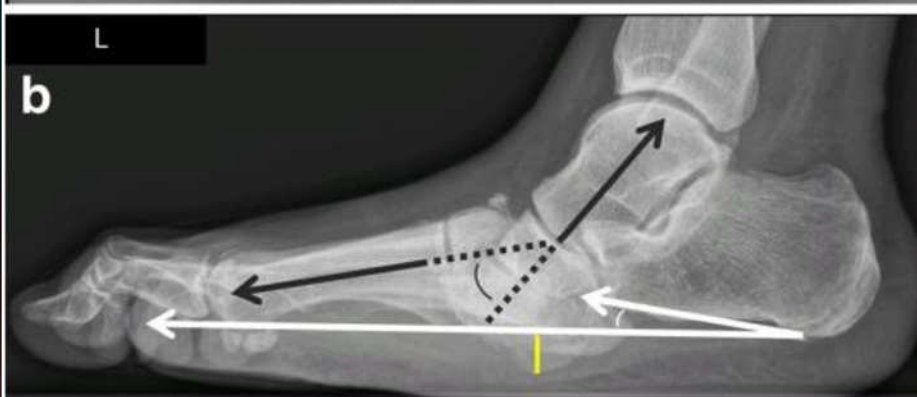
Hüpertrofiline vorm – noolega tähistatud
talonavikulaarliigese osteofüüt, mis tavalisest
suurem. Vaata lisaks ka jalalaba luude
struktuurimuutusi ning ebaühtlast
talonavikulaarliigest

Röntgen

- Klassikaliselt põhiline modaliteet haiguse diagnoosimiseks ja staadiumi hindamiseks
- Oluline luude seisundi ning asendi hindamisel
- Luude asendi hindamine on vajalik koormusel (dorsoplantaarne ja külgpilt seistes!)



a – Algne pilt. Must – Meary nurk. Valge nurk – Kandluu kallak. Kollane joon – os cuboideumi kõrgus.

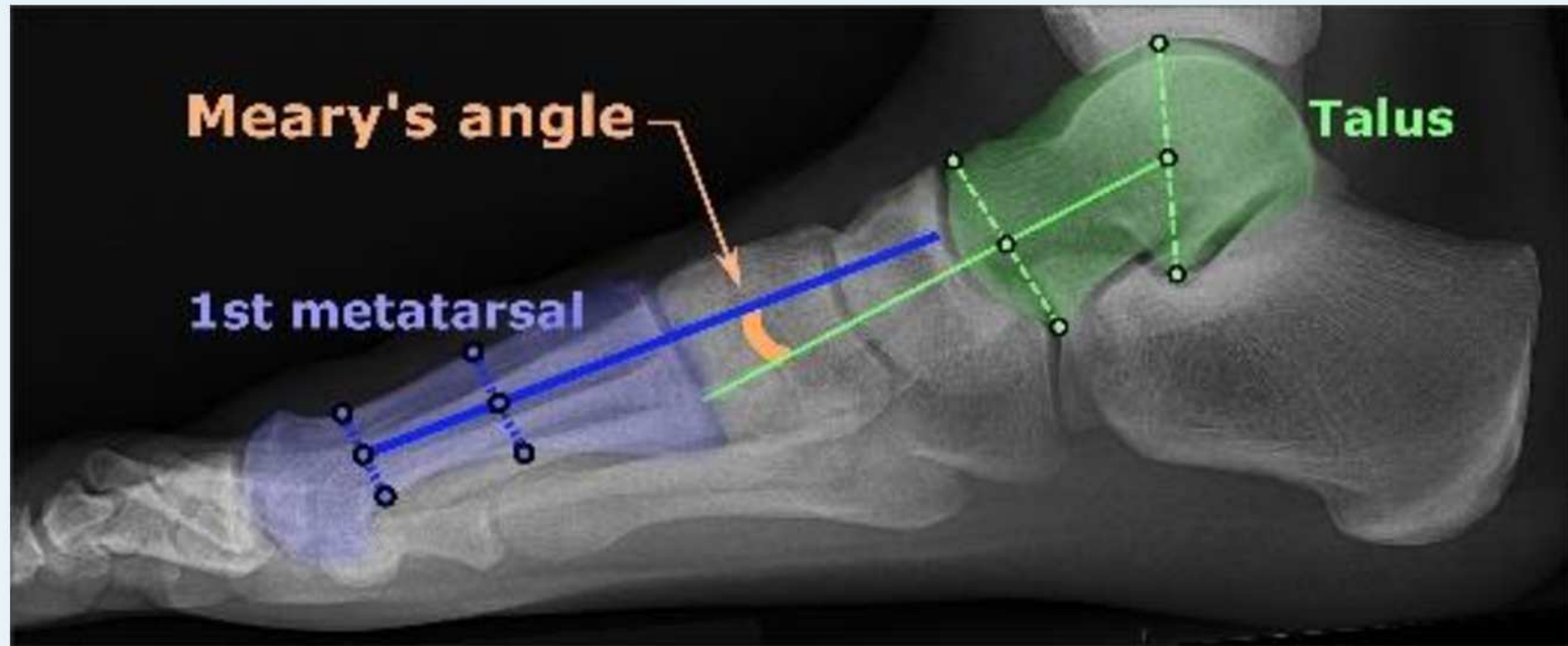


b – tüüpiline Charcot jala jätk 10 kuud hiljem. Meary nurga suurenemine, kandluu kallaku vähenemine ja os cuboideumi nihkumine inferioorsele

Roskopf et al.

Meary nurk

- $>4^\circ$ konveksiteet alla – pes planus, $>4^\circ$ konveksiteet üles – pes cavus
- Charcot jala kontekstis Meary nurk suureneb lampjalgususe suunas
- Muutuse raskus: kerge $<15^\circ$; keskmine $15-30^\circ$; raske $>30^\circ$



Case courtesy of Dr Pablo Lorenzoni, Radiopaedia.org, rID: 70229

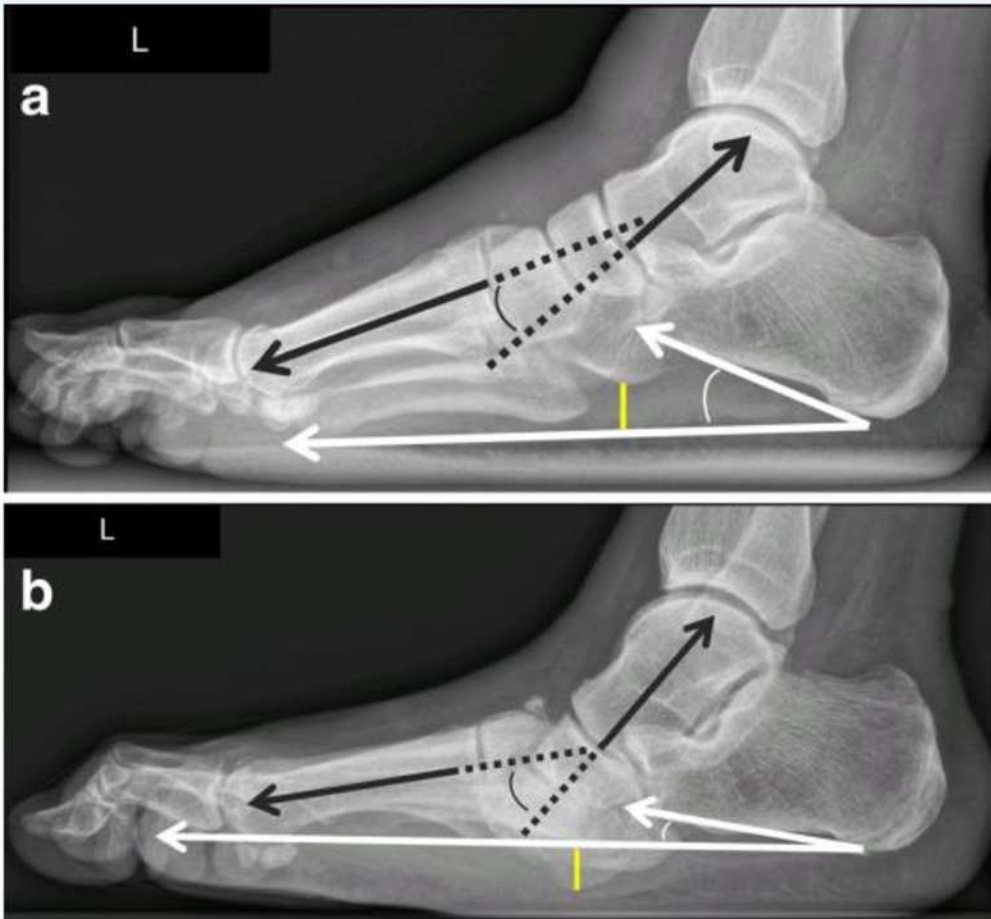
Kandluu kallak

- Jällegi üks lampjalgsuse hindamiseks kasutatav mõõtmine
- Norm – 20 - 30° ; pes planus <18° ; pes cavus ≥30°



Wikipedia. By Mikael Häggström - Own work, CC0, <https://commons.wikimedia.org/w/index.php?curid=61558804>

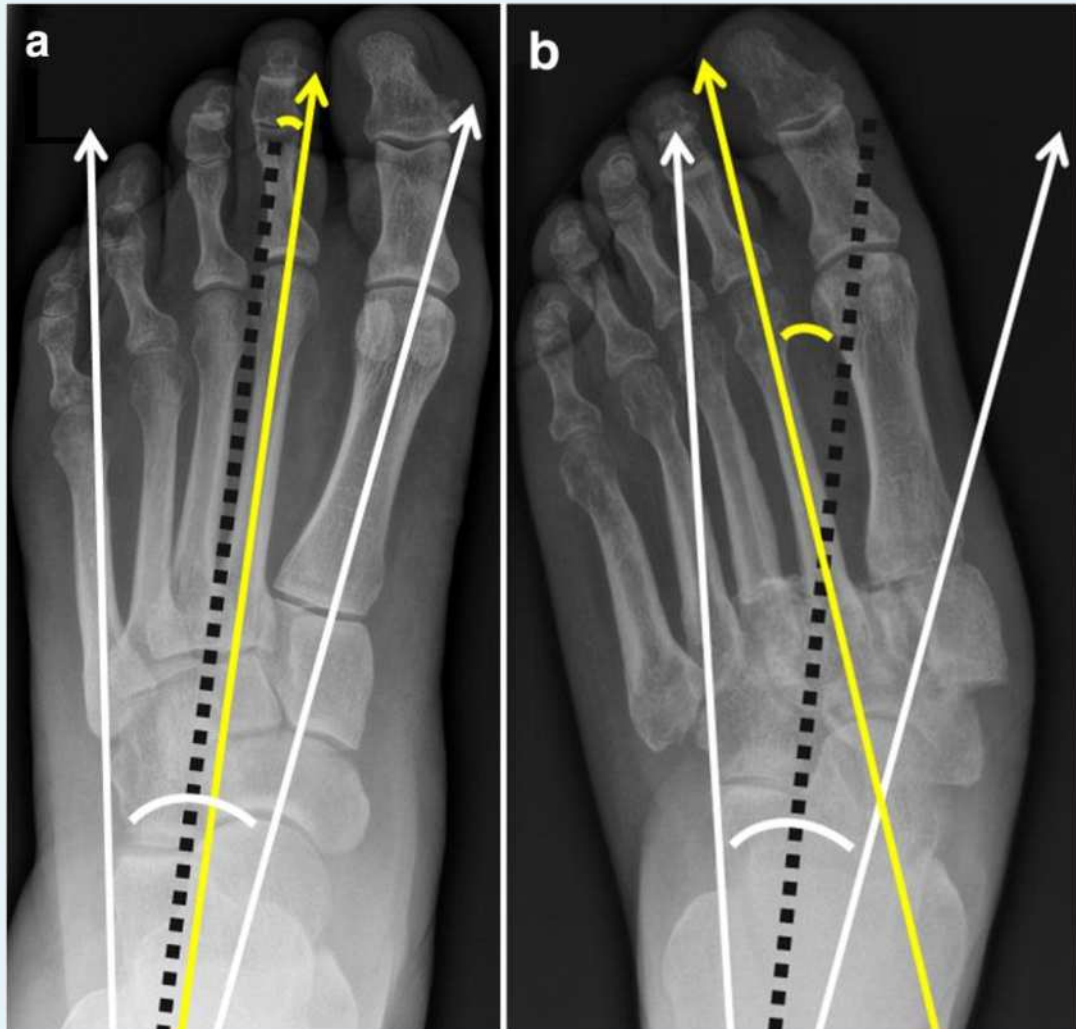
Os cuboideumi kõrgus



- Os cuboideumi alaserv on os calcaneuse alaservast V metatarsaalluu pähiku alaservani kulgevast joonest kõrgemal
- Keskmine norm on 1,2 cm
- Asend allpool horisontaalset joont (nagu pildil b) on seotud haavandumisega*

* Wukich DK, Raspovic KM, Hobzial KB, Rosario B. Radiographic analysis of diabetic midfoot charcot neuroarthropathy with and without midfoot ulceration. *Foot Ankle Int.* 2014;35(11):1108–1115. doi:10.1177/1071100714547218

Hindfoot-forefoot nurk



- Labajala tagumise ja eesmise osa vaheline nurk, Charcot jalaga distaalse osa abduksioon ja valgusdeformatsioon süvenevad
- Näitab Lisfranc liigese (sub)luksatsiooni

Lateraalne valge joon: calcaneuse lateraalse korteksiga paralleelne joon

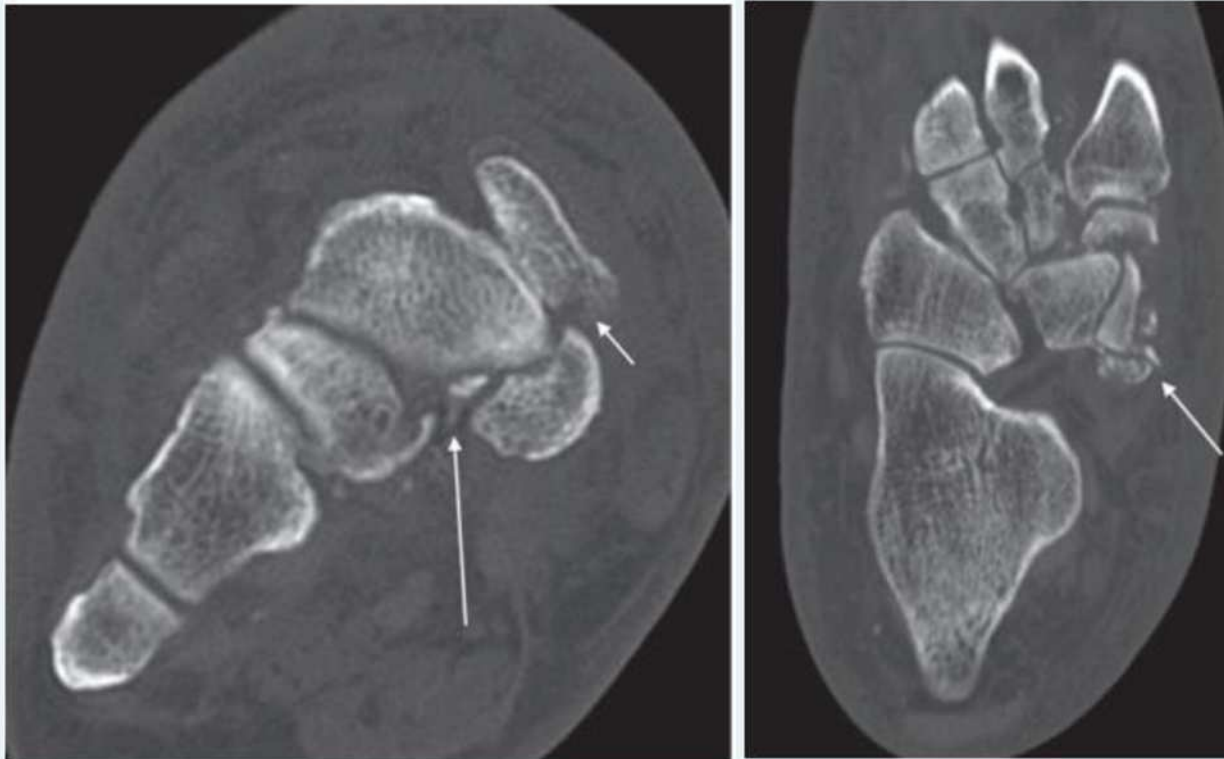
Mediaalne valge joon: taluse pea ja kaela kesktelg

Must punktiirjoon: eelneva kahe joone vahelise nurga keskosa läbiv joon

Kollane joon: II metatarsaalluu kesktelg

KT

- Enamasti ei lähe vaja, röntgen katab vajaliku
- Operatiivse ravi planeerimiseks
- Väikeste murdude ja kahjustuste eristamiseks



Os naviculare ja os cuneiforme
mediale fraktuurid perifeerse
neuropaatiaga diabeetikul –
Eichenholtz I staadium

Radiograafiline mnemoonik

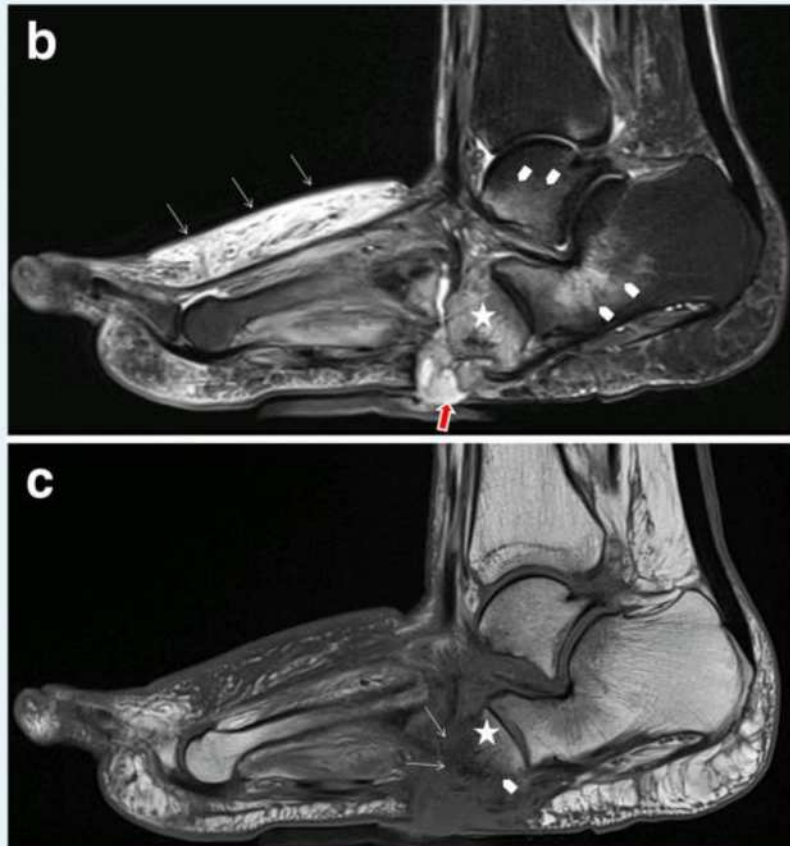
Charcot jala 5 D'd

- **Density change** (tiheduse muutus) – subkondraalne osteopenia või skleroos
- **Destruction** (hävinemine) – luude fragmentatsioon ning imendumine
- **Debris** – liigesesisesed vabakehad
- **Distension** (paisumine) – vedelik liigeses
- **Disorganisation and dislocation** – liigestumise häirumine

Ostemüeliit

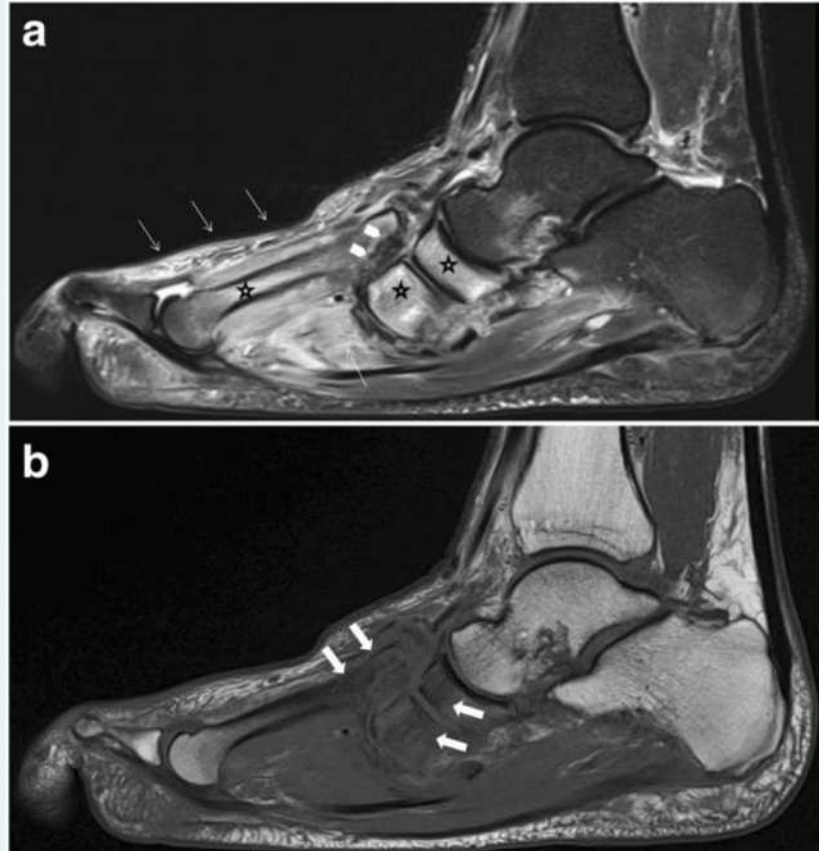
- Aktiivse charcot artropaatia ja osteomüeliidi eristamine raske
- Sarnased tunnused MRT's:
 - Luuüdi väljendunud turse T1 tugeva langusega
 - Pehmete kudedede turse
 - Liigesesisene efusioon
 - Pehmete kudedede ja luudi kontrasteerumine
 - Vedelikukogumite moodustumine

Osteomüeliit vs Charcot



b – Sag STIR kujutis, nahahaavand ja vedelikusignaaliga uuris luudeni
c – Sag T1 kujutis, luuüdi signaali tugev langus os cuboideumis, luukontuuri mittevisualiseerumine

Roskopp et. al

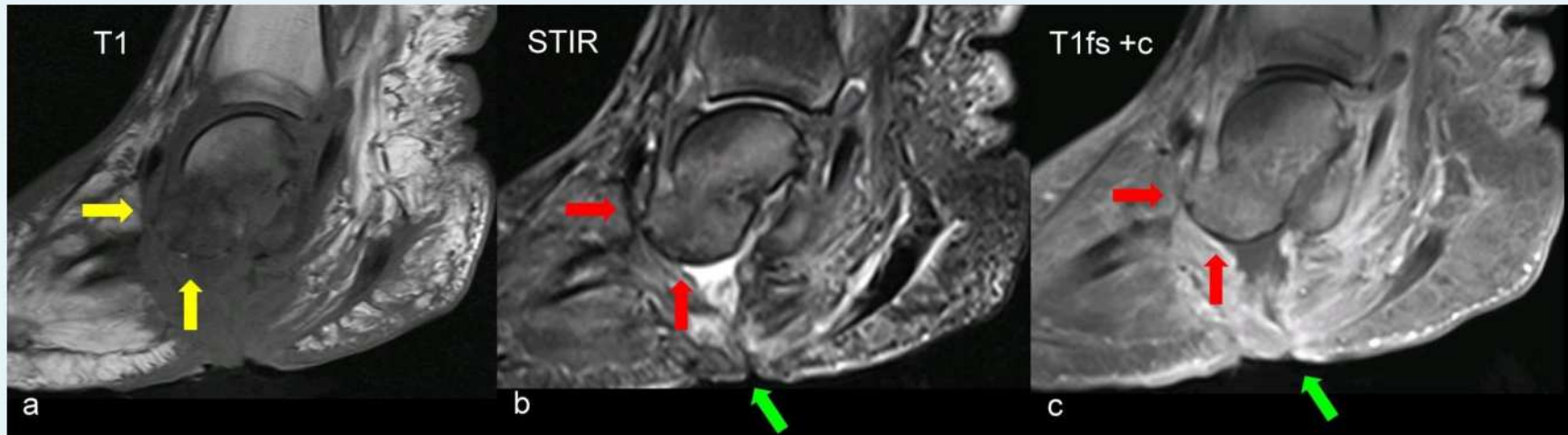


a – Sag STIR kujutis, metatarsaalluude dislokatsioon, väljendunud luuüdi ja pehmete kudede tursesignaal
b – Sag T1 kujutis, väljendunud luuüdi signaalilangus ning luude destruktsioon

Table 1 MRI features for differentiating an active Charcot foot from osteomyelitis. Information collected from Ahmadi et al. 2006 [25], Donovan and Schweitzer 2010 [29], Ergen et al. 2013 [2], Johnson et al. 2009 [28], Martín Noguerol et al. 2017 [30], Mautone and Naidoo 2015 [24], Schoots et al. 2010 [3], and Toledano et al. 2011 [20]

	Active Charcot foot	Osteomyelitis
Location of bone marrow abnormality (edema shown in fluid sensitive sequences, and reduction of fatty bone marrow shown in T1 sequences)	<ul style="list-style-type: none"> ○ Pattern tends to be periarticular ○ Usually involves several joints and bones (mostly tarso-metatarsal joints and metatarsophalangeal joints) 	<ul style="list-style-type: none"> ○ Tendency to involve a single bone with diffuse marrow involvement ○ Usually affects weight-bearing surfaces of the toes, metatarsal heads, calcaneus, malleolus, and a special area in Charcot: cuboid (in rocker-bottom deformity) ○ Develops almost exclusively by continuous spread of infection from skin ulcerations and sinus tracts
Sinus tracts	<ul style="list-style-type: none"> ○ Usually not present 	<ul style="list-style-type: none"> ○ Often present
Skin ulceration (technician should mark the exact ulcer location)	<ul style="list-style-type: none"> ○ Can be present 	<ul style="list-style-type: none"> ○ Often present ○ Often relationship to sinus tract
Fluid collections	<ul style="list-style-type: none"> ○ Present ○ Usually smaller than in case of infection, unless sinus tract is present 	<ul style="list-style-type: none"> ○ Present ○ Usually larger than in active Charcot foot, unless a sinus tract exists over which the collection is drained (paradoxical decrease of size of fluid collection) ○ Diffusion-weighted imaging (DWI) might help in differentiation abscesses from non-infected fluid collections
Subcutaneous fat	<ul style="list-style-type: none"> ○ Dorsal often with edema, plantar often normal 	<ul style="list-style-type: none"> ○ Often disappears due to presence of cellulitis
Subchondral cysts	<ul style="list-style-type: none"> ○ Typical image feature in chronic Charcot foot ○ The presence of subchondral cysts indicates the absence of infection 	<ul style="list-style-type: none"> ○ Tendency to disappear in case of infection/osteomyelitis ○ Best recognized if regular previous follow-up studies are present, which demonstrate the disappearance of the cysts
Intraarticular bodies	<ul style="list-style-type: none"> ○ The presence of intraarticular bodies indicates the absence of infection 	<ul style="list-style-type: none"> ○ Often disappear in the setting of infection due to dissolution or obscurity by surrounding inflammation
"The ghost sign"	<ul style="list-style-type: none"> ○ Negative: a neuropathic joint without infection will not demonstrate the "ghost sign" because the bones are definitely destroyed and will look destroyed on all sequences 	<ul style="list-style-type: none"> ○ Positive: bones that "disappear" on T1-weighted images and "reappear" (outline of the bone becomes visible again) after contrast administration (or on T2-weighted images)—suspicious of osteomyelitis—Fig. 21

Ghost sign



- T1 kujutisel luukontuur kohati kadunud, STIR ja kontrastaineega sekventidel luukontuur hästi jälgitav
- Aktiivse neuropaatilise artropaatiaga patsientidel luu hävinez ning luukontuur on kadunud kõikidel sekventidel
- Loetakse patognoomiliseks osteomüeliidi puhul Charchot artropaatiaga, leiu täpsus on siiski uuringutes hindamata.

Nukleaarmeditsiin

- Tehneetsium 99m-MDP – tundlik, aga mittespetsiifiline. Ei erista aktiivsed neuropaatilist jalga muudest fraktuuridest ja põletikust
- Varajases staadiumis siiski möeldav, kui MRT pole teostatav
- Märgistatud leukotsüütidega uuringud on spetsiifilisemad aga väiksema tundlikkusega
- MRT, FDG-PET/CT ja valgevereliblede stsintigraafia on sarnase tundlikkusega osteomüeliidi diagnoosimisel diabeetilise jalaga, kuid nukleaarmeditsiini meetodid on spetsiifilisemad*

*Lauri C, Tamminga M, Glaudemans A et al (2017) Detection of osteomyelitis in the diabetic foot by imaging techniques: a systematic review and metaanalysis comparing MRI, white blood cell scintigraphy, and FDG-PET. Diabetes Care 40:1111–1120

Koju kaasa

- Kliinik on väga oluline: diabeet, neuropaatia, valu ja selle tugevus, haavandid, jalanhak, kas on olnud traumat ja kas see võiks suuri kahjustusi tekitada? – kõike vaja teada
- Põhiline on röntgen ja pildid peaksid olema tehtud seistes
- Leidu kirjeldavad 5 D'd
- Väga varajases staadiumis, diagnoosi täpsustamiseks ja tüsistuste (infektsioon) hindamiseks MRT
- Osteomüeliit ja neuropaatiline artropaatia võivad tihti olla koos ning nende eristamine on keeruline

Kasutatud kirjandus

- 1) Rosskopf, A.B., Loupatatzis, C., Pfirrmann, C.W.A. et al. The Charcot foot: a pictorial review. *Insights Imaging* 10, 77 (2019) doi:10.1186/s13244-019-0768-9
- 2) <https://emedicine.medscape.com/article/1234293-overview#showall>
- 3) <https://radiopaedia.org/articles/charcot-joint>
- 4) <https://radiopaedia.org/articles/charcot-joint-causes-mnemonic?lang=us>
- 5) <https://radiopaedia.org/articles/radiographic-features-of-a-charcot-joint-mnemonic?lang=us>
- 6) <https://emedicine.medscape.com/article/391989-overview#showall>
- 7) Kaynak G, Birsel O, Güven MF, Öğüt T. An overview of the Charcot foot pathophysiology. *Diabet Foot Ankle.* 2013;4:10.3402dfa.v4i0.21117. Published 2013 Aug 2. doi:10.3402dfa.v4i0.21117
- 8) Mautone, M. and Naidoo, P. (2015), Charcot neuroarthropathy: an imaging review. *Journal of Medical Imaging and Radiation Oncology*, 59: 395-402. doi:10.1111/1754-9485.12325
- 9) Jones EA, Manaster BJ, May DA, Disler DG: Neuropathic osteoarthropathy: diagnostic dilemmas and differential diagnosis. *Radiographics* 2000, 20(spec no):S279-S293.